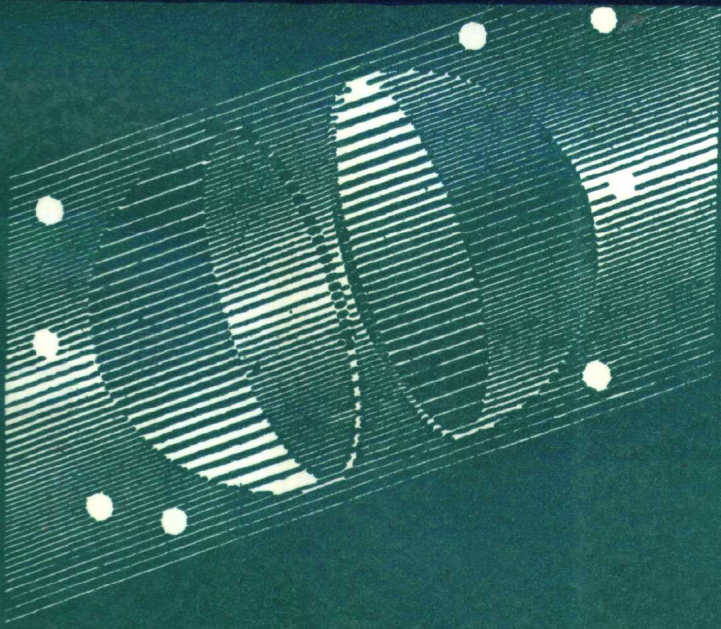


# 原子物理学 习题集

张永恩 于玉兰 编著



河南大学出版社

# 原子物理学习题集

张永恩 于玉兰

河南大学出版社

(豫)新登字 09 号

原子物理学习题集

张水恩 于玉兰

责任编辑 赵林

---

河南大学出版社出版

(开封市明伦街 85 号)

河南省新华书店发行

中国科学院开封印刷厂印刷

---

开本:850×1168 毫米 1/32 印张:10.5 字数:264 千字

1993 年 10 月第 1 版 1993 年 10 月第 1 次印刷

印数:1—1000

定价:8.00 元

---

ISBN7-81018-864-X/O · 52

## 前　　言

原子物理学是高等学校一门重要的基础课，是从经典物理向近代物理的过渡课程。这门课程的教材，国内已出版了几种，如褚圣麟编的《原子物理学》，苟清泉编的《普通物理学》（原子物理部分），张永恩编著的《原子和原子核物理学》，杨福家著的《原子物理学》等。这些教材基本上满足了国内的教学需要。与课程相适应的习题集是从事原子物理教学的老师和广大学生，以及许多自学者所迫切需要的。

本书就是为了满足上述需要而编写的。书中除收入了符合原子物理课程基本要求的习题外，还收入部分稍深的习题。

在本书的每一章的开始，都给出了这一章的内容提要和典型题解，这些内容无疑会使读者加深对基本观念的理解，打开演做习题的思路。

编　　者

1986.10.

# 目 录

<b>第一章 原子结构与玻尔理论 .....</b>	(1)
内容提要 .....	(1)
典型题解 .....	(3)
习题集 .....	(13)
§ 1-1 卢瑟福散射 .....	(13)
§ 1-2 氢原子的玻尔理论 .....	(16)
§ 1-3 类氢离子和类氢原子 .....	(19)
§ 1-4 夫兰克—赫芝实验 .....	(21)
<b>第二章 微观粒子的薛定谔理论 .....</b>	(23)
内容提要 .....	(23)
典型题解 .....	(26)
习题集 .....	(50)
§ 2-1 光子 .....	(50)
§ 2-2 光电效应 .....	(51)
§ 2-3 康普顿效应 .....	(53)
§ 2-4 电子对效应 .....	(56)
§ 2-5 光子的吸收 .....	(57)
§ 2-6 德布罗意波 .....	(58)
§ 2-7 不确定关系 .....	(62)
§ 2-8 布喇格公式 .....	(65)
§ 2-9 薛定谔方程 .....	(67)
<b>第三章 氢原子的量子理论 .....</b>	(72)
内容提要 .....	(72)
典型题解 .....	(77)
习题集 .....	(82)

§ 3-1 氢原子的薛定谔理论 .....	(82)
§ 3-2 氢原子的角动量和磁矩 .....	(86)
§ 3-3 史特恩—盖拉赫实验 .....	(88)
§ 3-4 精细结构 .....	(90)
<b>第四章 多电子原子 .....</b>	<b>(92)</b>
<b>内容提要 .....</b>	<b>(92)</b>
<b>典型题解 .....</b>	<b>(97)</b>
<b>习题集 .....</b>	<b>(115)</b>
§ 4-1 全同粒子波函数 .....	(115)
§ 4-2 X 射线 .....	(116)
§ 4-3 一个光学电子的原子结构 .....	(119)
§ 4-4 多个光学电子的原子结构 .....	(122)
§ 4-5 塞曼效应 .....	(128)
§ 4-6 原子的磁性 .....	(131)
<b>第五章 分子结构和分子光谱 .....</b>	<b>(133)</b>
<b>内容提要 .....</b>	<b>(133)</b>
<b>典型题解 .....</b>	<b>(138)</b>
<b>习题集 .....</b>	<b>(155)</b>
§ 5-1 分子的振动和转动 .....	(155)
§ 5-2 分子光谱 光的组合散射 .....	(157)
<b>第六章 原子核的性质和结构 .....</b>	<b>(160)</b>
<b>内容提要 .....</b>	<b>(160)</b>
<b>典型题解 .....</b>	<b>(163)</b>
<b>习题集 .....</b>	<b>(174)</b>
§ 6-1 核的半径 质量和结合能 .....	(174)
§ 6-2 核的角动量 磁矩和电四极矩 .....	(176)
§ 6-3 核的结构模型 .....	(178)
<b>第七章 不稳定核的衰变 .....</b>	<b>(180)</b>
<b>内容提要 .....</b>	<b>(180)</b>
<b>典型题解 .....</b>	<b>(185)</b>

习题集 .....	(212)
§ 7-1 衰变定律 .....	(212)
§ 7-2 $\gamma$ 衰变 .....	(217)
§ 7-3 $\alpha$ 衰变 .....	(220)
§ 7-4 $\beta$ 衰变 .....	(222)
<b>第八章 原子核反应 .....</b>	<b>(225)</b>
内容提要 .....	(225)
典型题解 .....	(229)
习题集 .....	(249)
§ 8-1 核反应中的守恒定律 .....	(249)
§ 8-2 核反应的截面和产额 核能级 .....	(253)
§ 8-3 原子核的裂变 聚变 核能的利用 .....	(258)
<b>第九章 粒子 .....</b>	<b>(263)</b>
内容提要 .....	(263)
典型题解 .....	(269)
习题集 .....	(275)
§ 9-1 粒子间的相互作用 .....	(275)
§ 9-2 粒子的衰变 .....	(277)
§ 9-3 粒子的性质 .....	(279)
§ 9-4 粒子的结构模型 .....	(281)
<b>附录 I 习题答案 .....</b>	<b>(283)</b>
<b>附录 II 有关物理常数和单位变换 .....</b>	<b>(314)</b>
<b>附录 III 原子质量表 .....</b>	<b>(316)</b>

# 第一章 原子结构与玻尔理论

## 内 容 提 要

### (一) 原子的有核模型

1. 在卢瑟福散射中, 散射角  $\theta$  与碰撞参数  $b$  之间的关系

$$\operatorname{ctg}(\theta/2) = 4\pi\epsilon_0 \cdot \frac{mv_0^2}{2Ze^2} \cdot b \quad (1-1)$$

式中:  $m$  为  $\alpha$  粒子的质量;  $v_0$  为  $\alpha$  粒子的速度;  $Z$  为原子核的电荷数.  $\theta$  随  $b$  的减小而增大.

2. 卢瑟福散射公式

$$d\sigma = \left( \frac{1}{4\pi\epsilon_0} \right)^2 \left( \frac{Ze^2}{mv_0^2} \right)^2 \frac{d\Omega}{\sin^4(\theta/2)} \quad (1-2)$$

式中:  $d\sigma$  称为微分散射截面, 它的意义是每个靶原子都存在一个有效截面  $d\sigma$ , 凡是射到  $d\sigma$  上的  $\alpha$  粒子, 都散射到  $\theta$  与  $\theta+d\theta$  之间的立体角  $d\Omega$  内.

3. 散射到  $\theta$  与  $\theta+d\theta$  之间, 距散射中心  $r$  处的单位面积上的  $\alpha$  粒子数

$$dn = nNt \left( \frac{1}{8\pi\epsilon_0} \right)^2 \left( \frac{Ze^2}{T} \right)^2 \frac{1}{r^2 \sin^4(\theta/2)} \quad (1-3)$$

式中:  $N$  为靶原子的数密度;  $t$  为靶厚度;  $n$  为入射的  $\alpha$  粒子数;  $T$  为  $\alpha$  粒子的动能.

#### 4. $\alpha$ 粒子可接近靶核的最小距离

$$r_{\min} = \frac{1}{4\pi\epsilon_0} \frac{2Ze^2}{mv_0^2} \left( 1 + \frac{1}{\sin(\theta/2)} \right) \quad (1-4)$$

当散射角  $\theta=180^\circ$  时的  $r_{\min}$  为原子核的半径.

## (二) 氢原子的玻尔理论

1. 玻尔假定: 第一, 只有当电子的角动量满足如下公式的电子轨道才是允许的

$$mvr = n\hbar \quad (1-5)$$

式中:  $n=1, 2, 3, \dots$  为主量子数;  $\hbar = \frac{h}{2\pi}$ ;  $r$  为电子轨道半径. 第二, 当电子从能量高的轨道向能量低的轨道跃迁时, 放出光子的频率为

$$\nu = (E_{n+1} - E_n)/\hbar \quad (1-6)$$

式中:  $E_{n+1}$  和  $E_n$  分别为电子跃迁前后, 氢原子能级的能量.

#### 2. 电子轨道半径及氢原子的总能量

$$r_n = 4\pi\epsilon_0 \cdot \frac{n^2\hbar^2}{mZe^2}, \quad n = 1, 2, 3, \dots \quad (1-7)$$

$$E_n = -\frac{1}{(4\pi\epsilon_0)^2} \frac{m(Ze^2)^2}{2n^2\hbar^2}, \quad n = 1, 2, 3, \dots \quad (1-8)$$

当  $n=1$  时,  $r_1 = a_0 = 4\pi\epsilon_0 \frac{\hbar^2}{me^2} \cong 0.529$  埃称为玻尔第一轨道半

径. 它所对应的能量  $E_1 = -\frac{1}{(4\pi\epsilon_0)^2} \frac{me^4}{2\hbar^2} \cong -13.6$  电子伏, 为氢原子基态的能量; 通常把基态的能量看为零, 各激发态的能量以它为

标准算起.

### 3. 氢原子光谱的波数公式

$$\tilde{\nu} = \frac{2\pi^2 m (Ze^2)^2}{(4\pi\epsilon_0)^2 h^3 c} \left[ \frac{1}{n'^2} - \frac{1}{n^2} \right] = R_\infty \left[ \frac{1}{n'^2} - \frac{1}{n^2} \right] \quad (1-9)$$

式中:  $n' = 1, n = 2, 3, 4, \dots$  时得赖曼系(紫外区);  $n' = 2, n = 3, 4, 5, \dots$  时得巴耳末系(可见光区);  $n' = 3, n = 4, 5, 6, \dots$  时得帕邢系(红外区);  $n' = 4, n = 5, 6, 7, \dots$  得布喇开系(远红外区).  $R_\infty = 1.0973731 \times 10^7$  米<sup>-1</sup> 为里得堡常数 ( $R_H = 1.0967758 \times 10^7$  米<sup>-1</sup>).

### 4. 在考虑到原子核的运动时, 里得堡常变为

$$R_A = \frac{2\pi^2 me^4}{(4\pi\epsilon_0)^2 h^3 c} \frac{1}{1 + \frac{m}{M}} = R_\infty \cdot \frac{1}{1 + \frac{m}{M}} \quad (1-10)$$

式中:  $m$  和  $M$  分别是电子质量和原子核的质量;  $R_\infty$  为不考虑原子核运动时的里得堡常数.

5. 对于  $\text{He}^+$  ( $Z=2$ ),  $\text{Li}^+$  ( $Z=3$ ) 等类氢离子, 在以上氢原子公式中, 只要选用适当的  $Z$  值, 都是成立的. 但是, 对于类氢原子, 由于介子的质量较重, 在以上公式中都必须应用介子与核的约化质量. 且介子的轨道要比电子的轨道小得多; 相应的基态能量要比氢原子低得多. 例如,  $\mu^-$  原子的约化质量  $\mu_\mu = 1.69499 \times 10^{-28}$  千克, 基态能量为  $-25.28$  电子伏;  $\pi^-$  原子的约化质量  $\mu_\pi = 2.16303 \times 10^{-28}$  千克, 其基态的能量为  $-32.26$  电子伏.

## 典 型 题 解

1-1. 能量为 8.8 兆电子伏的  $\alpha$  粒子入射到厚度为  $2 \times 10^{-5}$  厘米的金箔上, 试计算散射到  $\theta \geq 90^\circ$  角中的  $\alpha$  粒子数占入射总数的

百分率(已知金的原子序数  $Z=79$ , 原子量为 197, 金箔的密度为  $1.93 \times 10^4$  千克/米<sup>3</sup>).

[解] 由公式(1-3), 散射角大于  $90^\circ$  的  $\alpha$  粒子数为

$$dn' = \int dn = n N t \int_{\pi/2}^{\pi} d\sigma$$

所以, 占总数的相对数为

$$\frac{dn'}{n} = N t \int_{\pi/2}^{\pi} d\sigma = N t \pi \left( \frac{1}{4\pi\epsilon_0} \right)^2 \left( \frac{Ze^2}{T} \right)^2 \int_{\pi/2}^{\pi} \frac{\cos(\theta/2)}{\sin^3(\theta/2)} d\theta$$

其中, 单位体积中金的原子数为

$$N = \frac{\rho N_A}{A}$$

$$= \frac{1.93 \times 10^4 \text{ 千克 / 米}^3 \times 6.02 \times 10^{23} \times 10^3 \text{ 个 / 千摩尔}}{197 \text{ 千克 / 千摩尔}} \\ = 5.9 \times 10^{28} \text{ 个 / 米}^3$$

$$\left( \frac{1}{4\pi\epsilon_0} \right)^2 \left( \frac{Ze^2}{T} \right)^2 = \left[ \frac{8.98 \times 10^9 \text{ 牛顿} \cdot \text{米}^2 / \text{库仑}^2 \times 79}{8.8 \times 10^6 \text{ 电子伏} \times 1.602} \rightarrow \right. \\ \left. \left. \begin{array}{c} \times (1.602 \times 10^{-19} \text{ 库仑})^2 \\ \times 10^{-19} \text{ 焦耳 / 电子伏} \end{array} \right]^2 \\ = 1.69 \times 10^{-28} \text{ 米}^2.$$

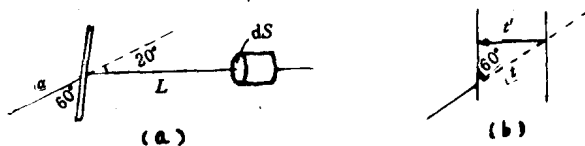
$$I = \int_{\pi/2}^{\pi} \frac{\cos(\theta/2)}{\sin^3(\theta/2)} d\theta = 2 \int_{\pi/2}^{\pi} \frac{d\sin(\theta/2)}{\sin^3(\theta/2)} = 1$$

将以上数值代入, 即得

$$\frac{dn'}{n} = 5.9 \times 10^{28} \text{ 个 / 米}^3 \times 2 \times 10^{-7} \text{ 米} \times 1.69 \times 10^{-28} \text{ 米}^2 \\ = 6.25 \times 10^{-4} \%$$

1-2. 能量为 3.5 兆电子伏的细  $\alpha$  粒子束射到单位面积上质量为  $1.05 \times 10^{-2}$  千克/米<sup>2</sup> 的银箔上(见图 a),  $\alpha$  粒子与银箔表面成  $60^\circ$  角. 在离  $\alpha$  粒子入射方向成  $\theta=20^\circ$  的方向上, 离银箔散射区距

离  $L=0.12$  米处放一窗口面积为  $6.0 \times 10^{-5}$  米<sup>2</sup> 的计数器. 测得散射进此窗口的  $\alpha$  粒子是全部入射  $\alpha$  粒子的百万分之 29. 若已知银的原子量是 107.9, 试求银的核电荷数  $Z$ .



例题 1-2 用图

[解] 设靶厚  $t'$ ,  $\alpha$  粒子在靶中通过的实际厚度为  $t=t'/\sin 60^\circ=2t'/\sqrt{3}$ . (见图 b). 探测器张的立体角  $d\Omega=dS/L^2$ . 单位面积所遮盖的原子数  $Nt'=\eta/m_{Ag}=\eta(A_{Ag}/N_0)^{-1}$ , 其中:  $N$  为原子的体密度;  $\eta$  是单位靶表面积所覆盖的总质量;  $m_{Ag}$  为银原子的质量;  $A_{Ag}$  为银的原子量;  $N_0$  为阿伏加德罗常数. 那么由公式

$$\frac{dn}{n} = Nt \left( \frac{1}{4\pi\epsilon_0} \right)^2 \left( \frac{Ze^2}{m v_0^2} \right)^2 \frac{d\Omega}{\sin^4(\theta/2)}$$

可求得

$$\begin{aligned} Z &= \left[ \frac{dn}{n} \frac{\sqrt{3}}{2} \frac{A_{Ag}}{\eta N_0} \frac{(m v_0^2)^2 \sin^4(\theta/2)}{(1/4\pi\epsilon_0)^2 d\Omega} \right]^{\frac{1}{2}} \\ &= \frac{m v_0^2 \sin^2(\theta/2) \cdot L}{(1/4\pi\epsilon_0) \cdot e^2} \left[ \frac{\sqrt{3} A_{Ag} \cdot \frac{dn}{n}}{2 N_0 \eta dS} \right]^{\frac{1}{2}} \\ &= \frac{2 \times 3.5 \times 10^6 \times 1.6 \times 10^{-19} \sin^2(10^\circ) \times 0.12}{9 \times 10^9 \times (1.6 \times 10^{-19})^2} \\ &\quad \times \left( \frac{\sqrt{3} \times 107.9 \times 29 \times 10^{-6}}{2 \times 6.02 \times 10^{23} \times 1.05 \times 10^{-2} \times 6.0 \times 10^{-5}} \right)^{\frac{1}{2}} \end{aligned}$$

$$= 47$$

1-3. 设  $N$  为单体积内的靶核数,  $t$  为铀箔的厚度,  $\pi b^2$  为一个靶核的有效面积. 假设  $Nt\pi b^2=0.1$ , 若能量为  $5.0 \times 10^6$  电子伏的

$\alpha$  粒子在铀箔上散射时, 从角度  $\theta \geq 4^\circ$  开始都可以满足卢瑟福散射公式. 试估计铀箔的质量厚度.

[解] 根据公式(1-1)

$$b = \frac{1}{4\pi\epsilon_0} \frac{2Ze^2}{m v_0^2} \operatorname{ctg}^2 \frac{\theta}{2}$$

则有

$$Nt\pi b^2 = Nt\pi \left( \frac{1}{4\pi\epsilon_0} \right)^2 \left( \frac{2Ze^2}{m v_0^2} \right)^2 \operatorname{ctg}^2 \frac{\theta}{2} \cong 0.1$$

其中:  $N = N_0(\mu/\rho)^{-1} = N_0\rho/\mu$ ;  $\mu$  是铀的摩尔原子质量;  $\rho$  是铀的质量密度,  $N_0$  是阿伏加德罗常数. 由此

$$\frac{N_0\rho t\pi(Ze^2)^2}{\mu E^2} \cdot \left( \frac{1}{4\pi\epsilon_0} \right)^2 \operatorname{ctg}^2 \frac{\theta}{2} \cong 0.1$$

故有

$$\begin{aligned} \rho t &\cong \frac{0.1 \mu E^2 (4\pi\epsilon_0)^2}{N_0 \pi (Ze^2)^2} \operatorname{tg}^2 \frac{\theta}{2} \\ &= \frac{0.1 \times 238 \times (5 \times 10^6 \times 1.6 \times 10^{-19})^2}{6.02 \times 10^{23}} \rightarrow \\ &\quad \leftarrow \frac{\times (1/9 \times 10^9)^2}{\pi [92 \times (1.9 \times 10^{-19})^2]^2} \operatorname{tg}^2 2^\circ \\ &\cong 2.2 \text{ 毫克 / 厘米}^2 \end{aligned}$$

1-4. 强度为  $5 \times 10^3$  个/秒, 能量为  $3 \times 10^6$  电子伏的狭窄  $\alpha$  粒子流垂直地射到厚度为 1 微米的金箔上, 试问经过 10 分钟在  $59^\circ$  和  $61^\circ$  之间的角度间隔内将记录多少个被散射的  $\alpha$  粒子?

[解] 已知散射角在  $\theta - \theta + d\theta$  之间  $d\Omega$  立体角内的  $\alpha$  粒子数为

$$\begin{aligned} dn &= nNt \cdot 4\pi \left( \frac{1}{4\pi\epsilon_0} \right)^2 \left( \frac{Ze^2}{m v_0^2} \right)^2 \frac{\cos(\theta/2)}{\sin^3(\theta/2)} d\theta \\ &= 2\pi nNt \left( \frac{1}{4\pi\epsilon_0} \right)^2 \left( \frac{Ze^2}{T} \right)^2 \frac{d\sin(\theta/2)}{\sin^3(\theta/2)} \end{aligned}$$

据此式，可计算出散射角在  $59^\circ$ — $61^\circ$  之间的  $\alpha$  粒子数

$$n' = \int_{59^\circ}^{61^\circ} dn = 2\pi n \frac{\rho N_0}{A} t \left( \frac{1}{4\pi\epsilon_0} \right)^2 \left( \frac{Ze^2}{T} \right)^2 \int_{59^\circ}^{61^\circ} \frac{d\sin(\theta/2)}{\sin^3(\theta/2)}$$

$$= 2\pi n t \cdot \frac{\rho N_0}{A} \left( \frac{1}{4\pi\epsilon_0} \right)^2 \left( \frac{Ze^2}{T} \right)^2 \left[ -\frac{1}{2\sin^2(\theta/2)} \right]_{59^\circ}^{61^\circ}$$

将  $N_0 = 6.02 \times 10^{23}$ ,  $A = 197$ ,  $\rho = 19.3 \times 10^3$  千克/米<sup>3</sup>,  $t = 10^{-6}$  米,  $n = 5 \times 10^3$  个/秒,  $Z = 76$ ,  $T = 3 \times 10^6$  电子伏 =  $3 \times 10^6 \times 1.6 \times 10^{-19}$  焦耳及时间  $\tau = 600$  秒代入上式, 可计算出  $n' \approx 194$ . 即可记录 194 个  $\alpha$  粒子.

1-5. 镥放出的  $\alpha$  粒子能量为 7.68 电子伏. 假定这些  $\alpha$  粒子分别用金箔和铝箔散射. 试计算在这两种情况中,  $\alpha$  粒子最接近核的距离.

[解] 根据公式(1-4), 当  $\theta = 180^\circ$  时,  $\alpha$  粒子最接近原子核, 这时(1-4)式变为

$$r_{\min} = \frac{1}{4\pi\epsilon_0} \frac{2Ze^2}{T}$$

其中:  $\frac{1}{4\pi\epsilon_0} = 8.99 \times 10^9$  牛顿·米<sup>2</sup>/库仑<sup>2</sup>;  $T = 7.68 \times 10^6$  电子伏; 金的原子序数  $Z = 79$ , 铝的原子序数  $Z = 13$ . 因此

$$r_{\min}(\text{Au}) = \frac{2 \times 8.99 \times 10^9 (\text{牛顿} \cdot \text{米}^2 / \text{库仑}^2) \times 79}{7.68 \times 10^6 \text{ 电子伏} \times 1.6} \rightarrow$$

$$\leftarrow \frac{\times (1.6 \times 10^{-19} \text{ 库仑})^2}{\times 10^{-19} \text{ 焦耳} / \text{电子伏}}$$

$$= 2.98 \times 10^{-14} \text{ 米}$$

$$r_{\min}(\text{Al}) = \frac{2 \times 8.99 \times 10^9 (\text{牛顿} \cdot \text{米}^2 / \text{库仑}^2) \times 13}{7.68 \times 10^6 \text{ 电子伏} \times}$$

$$\leftarrow \frac{\times (1.6 \times 10^{-19} \text{ 库仑})^2}{1.6 \times 10^{-19} \text{ 焦耳} / \text{电子伏}}$$

$$= 0.49 \times 10^{-14} \text{ 米.}$$

1-6. 按照玻尔理论, 处于第一激发态的氢原子, 如果寿命是

$10^{-8}$ 秒，其中电子将旋转多少圈？

[解] 电子绕原子核旋转，其向心力为原子核对电子的库仑引力，即

$$\frac{mv^2}{r} = \frac{1}{4\pi\epsilon_0} \frac{Ze^2}{r^2}$$

此式与(1-5)式消去速度得电子轨道半径

$$r_n = 4\pi\epsilon_0 \frac{n^2\hbar^2}{me^2}$$

在第一激发态  $n=2$ ，这时

$$r_2 = 4\pi\epsilon_0 \frac{4\hbar^2}{me^2} = 4a_0 = 4 \times 0.529 \text{ Å} = 2.12 \times 10^{-10} \text{ 米}$$

倘若消去半径  $r$  则得电子的速度

$$v_n = \frac{1}{4\pi\epsilon_0} \frac{Ze^2}{n\hbar}$$

对于第一激发态， $n=2$ ，所以电子的速度为

$$v_2 = \frac{1}{4\pi\epsilon_0} \frac{Ze^2}{2\hbar} = 1.10 \times 10^6 \text{ 米/秒}$$

那末，电子绕核转动的角速度为

$$\omega = \frac{v_2}{r_2} = 0.52 \times 10^{16} \text{ 弧度/秒}$$

则转的总圈数是

$$N = \frac{\omega t}{2\pi} = \frac{(0.52 \times 10^{16} \text{ 弧度/秒})(10^{-8} \text{ 秒})}{6.28 \text{ 弧度/圈}} \\ = 8.3 \times 10^6 \text{ 圈}$$

1-7. 已知氢原子巴尔末第一条谱线( $H_{\alpha}$  线)的波长为 6562.80 埃。试计算氯原子的  $H_{\alpha}$  线的波长。

[解] 氯原子与氢原子类似，它有一个电子；但不同的是它的核中有 2 个中子和一个质子。因此  $Z=1$ ,  $M_T=3M_H$ 。而且，对  $H_{\alpha}$  线,  $n=3$ ,  $n'=2$ 。根据公式(1-9)和(1-10)。

$$\tilde{\nu} = \frac{1}{\lambda} = R \left( \frac{1}{n^2} - \frac{1}{n'^2} \right) \text{ 和 } R = \frac{\mu}{m} R_{\infty} = \frac{R_{\infty}}{1 + (m/M)}$$

对于氢和氚分别有

$$\tilde{\nu}_H = \frac{1}{\lambda_H} = R_H \left( \frac{1}{2^2} - \frac{1}{3^2} \right) = \frac{R_{\infty}}{1 + (m/M_H)} \left( \frac{1}{2^2} - \frac{1}{3^2} \right)$$

$$\tilde{\nu}_T = \frac{1}{\lambda_T} = R_T \left( \frac{1}{2^2} - \frac{1}{3^2} \right) = \frac{R_{\infty}}{1 + (m/M_T)} \left( \frac{1}{2^2} - \frac{1}{3^2} \right)$$

二者相除有

$$\frac{\lambda_T}{\lambda_H} = \frac{1 + (m/M_T)}{1 + (m/M_H)}$$

由于

$$\frac{m}{M_H} = \frac{1}{1837} \text{ 和 } \frac{m}{M_T} = \frac{m}{3M_H} = \frac{1}{5611}$$

则

$$\frac{\lambda_T}{\lambda_H} = \frac{1 + (1/5611)}{1 + (1/1837)} = \frac{5612}{5514}$$

所以氚原子的 H<sub>a</sub> 线的波长为

$$\lambda_T = \frac{5612}{5514} \times \lambda_H = \frac{5612}{5514} \times 6562.80 \text{ 埃} = 6680.93 \text{ 埃}$$

1-8. 试问二次电离的锂离子(Li<sup>+</sup>)从第一激发态向基态跃迁时发出的光子, 是否有可能使处于基态的一次电离的氦离子(He<sup>+</sup>)的电子电离掉?

[解] (Li<sup>+</sup>)从第一激发态向基态跃迁时发出光子的能量为

$$h\nu_{Li} = 9hcR_{Li} \left( \frac{1}{1^2} - \frac{1}{2^2} \right) = \frac{27}{4} R_c R_{Li}$$

He<sup>+</sup>的电离能为

$$h\nu_{He} = 4hcR_{He} \left( \frac{1}{1^2} - \frac{1}{\infty} \right) = 4hcR_{He}$$

二者相比得

$$\frac{h\nu_{\text{Li}}}{h\nu_{\text{He}}} = \frac{27R_{\text{Li}}}{16R_{\text{He}}} = \frac{27}{16} \cdot \frac{1+m/M_{\text{He}}}{1+m/M_{\text{Li}}}$$

由于  $M_{\text{He}} < M_{\text{Li}}$ , 所以有  $1+m/M_{\text{He}} > 1+m/M_{\text{Li}}$ , 从而有

$$h\nu_{\text{Li}} > h\nu_{\text{He}}$$

由此知,  $\text{Li}^+$  放出的光子可电离基态的  $\text{He}^+$  离子.

1-9. 电子与正电子绕其共同的质心转动而构成正电子素. (a) 如将这个系统视作正常的原子, 试将它放出的光谱线与氢原子的比较之. (b) 基态的正电子素的轨道半径是多少?

[解] (a) 正电子素原子的原子核是正电子, 其质量为  $M$ , 电子的质量为  $m$ , 因为二者相等, 则

$$\mu = \frac{mM}{m+M} = \frac{m^2}{2m} = \frac{m}{2}$$

相应的里得堡常数是

$$R = \frac{m}{m+m} \cdot R_{\infty} = \frac{R_{\infty}}{2}$$

因之, 正电子素原子的能量为

$$E_{\text{正电子素}} = -\frac{RhcZ^2}{n^2} = -\frac{R_{\infty}hcZ^2}{2n^2}$$

所发出谱线的波数为

$$\tilde{\nu} = \frac{1}{\lambda} = \frac{\nu}{c} = \frac{R_{\infty}}{2} Z^2 \left( \frac{1}{n'^2} - \frac{1}{n^2} \right)$$

与氢原子发射谱线的波数公式相比可知, 正电子素原子谱线的波数是氢原子的一半; 而波长是氢原子的两倍.

(b) 将氢原子半径公式的  $m$  用  $\mu=m/2$  代替, 可发现

$$r_{\text{正电子素}} = \frac{4\pi\epsilon_0 n^2 \hbar^2}{\mu Ze^2} = 2 \cdot \frac{4\pi\epsilon_0 n^2 \hbar^2}{mZe^2} = 2r_{\text{氢原子}}$$

由此可知, 正电子素原子任何状态的电子半径是相同状态下氢原子(核无穷大)中电子半径的两倍.

1-10.  $\mu$  介子原子包含一个电荷为  $Ze$  的原子核和绕核运动的